

PERENCANAAN DINDING PENAHAN TANAH PADA PROYEK PEMELIHARAAN BERKALA JALAN ASPAL RUAS JALAN HUKURILA - LEIHARI

Fredrik Sandri Pasalbessy¹, Renny James Betaubun², Sjafrudin Latar³

sandrypassalbesy@gmail.com¹, reni18betaubun@gmail.com², sjafrudin.latar07@gmail.com³

Politeknik Negeri Ambon

ABSTRAK

Dinding penahan tanah adalah suatu prasarana bangunan yang fungsinya untuk menahan tanah lepas atau alami dan mencegah terjadinya longsor akibat tanah yang miring atau lereng yang kestabilannya tidak dapat dijamin oleh lereng tanah itu sendiri. Penelitian ini menganalisis tentang dinding penahan tanah bertipe gravity memakai minipile kayu. Pembangunan dinding penahan pada ruas jalan Hukurilla -Leihari merupakan satu upaya mencegah terjadinya longsor pada lereng bila terjadi hujan cukup deras. Tujuan dari penelitian ini untuk menentukan dimensi dinding penahan tanah jenis gravity, dan menghitung faktor stabilitas / safety factor (SF) dari geser, guling dan daya dukung tanah. Dari hasil perhitungan stabilitas dinding penahan tanah diperoleh nilai stabilitas dinding penahan tanah relative terhadap apkekuatan dukung tanah yaitu dengan menggunakan teori Terzaghi yaitu, $\sigma_{\max} = 9,293 \text{ ton/m}^2 > q_a = 8,93 \text{ ton/m}^2$. Stabilitas terhadap geser, SF = $1,291 < 1,5$. Stabilitas terhadap guling SF = $1,137 < 1,5$. Namun dalam perhitungan didapat nilai stabilitas dinding penahan terhadap geser dan guling tidak aman maka direncanakan kembali dimensi dinding penahan, sebagai berikut: tinggi dinding penahan = 3 m, tinggi kovor = 1,4 m, lebar atas = 0,4 m, lebar dasar = 2,5 m, tebal kaki atau tumit = 0,5 m, lebar kaki atau tumit = 0,6 m. dari dimensi dinding penahan yang direncanakan didapatkan nilai stabilitas terhadap geser, SF = $2,290 \geq 1,5$. stabilitas terhadap guling, SF = $3,082 \geq 1,5$.

Kata Kunci: Dinding Penahan, Stabilitas.

ABSTRACT

A retaining wall is a building infrastructure whose function is to hold loose or natural soil and prevent landslides due to sloping soil or slopes whose stability cannot be guaranteed by the slope itself. This study analyzed gravity-type soil retaining walls using wooden mini piles. The construction of a retaining wall on the Hukurilla-Leihari road section is an effort to prevent landslides on the slopes if there is heavy rain. The purpose of this study is to determine the dimensions of the soil retaining wall type gravity, and calculate the stability factor / safety factor (SF) of shear, rolling and soil carrying capacity. From the results of the calculation of the stability of the soil retaining wall, the stability value of the soil retaining wall is obtained relative to the soil support strength, namely by using the Terzaghi theory, namely, $\sigma_{\max} = 9.293 \text{ tons / m}^2 > q_a = 8.93 \text{ tons / m}^2$. Stability against shear, SF = $1.291 < 1.5$. Stability against bolsters SF = $1.137 < 1.5$. However, in the calculation obtained the stability value of the retaining wall against shear and unsafe rolling, it is planned the dimensions of the retaining wall, as follows: retaining wall height = 3 m, kovor height = 1.4 m, upper width = 0.4 m, base width = 2.5 m, foot or heel thickness = 0.5 m, foot or heel width = 0.6 m. from the dimensions of the planned retaining wall obtained the value of shear stability against, SF = $2,290 \geq 1.5$. stability against bolsters, SF = $3.082 \geq 1.5$.

Keywords: Retaining Wall, Stability.

PENDAHULUAN

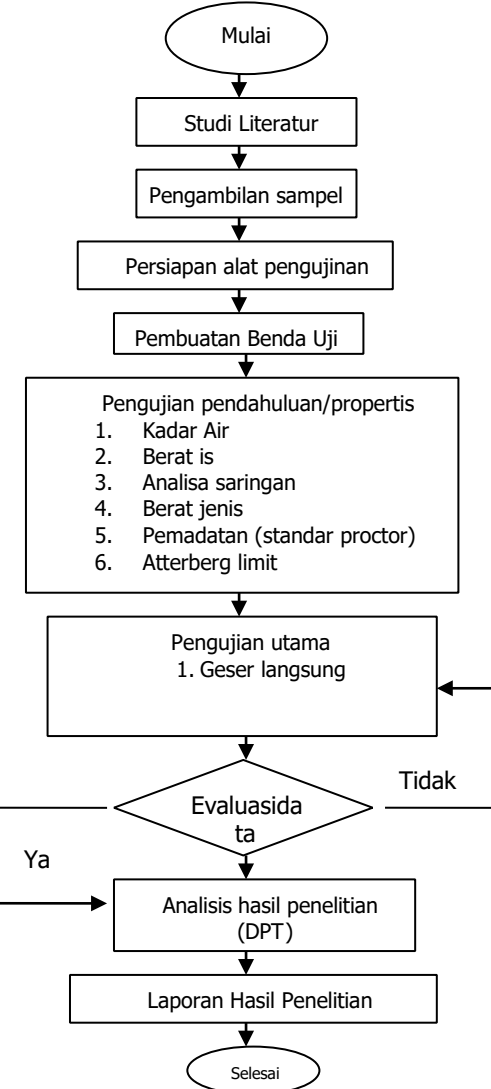
Dinding penahan tanah adalah suatu konstruksi yang berfungsi untuk menahan tanah lepas atau alami dan mencegah keruntuhan tanah yang miring atau lereng yang kemampuannya tidak dapat dijamin oleh lereng tanah itu sendiri. Tanah yang tertahan memberikan dorongan secara aktif pada struktur cenderung akan terguling atau akan tergeser.

Untuk memenuhi kebutuhan infrastruktur transportasi di ruas Jalan Hukurila-Leihari, Kecamatan Leitimur Selatan, Membangun struktur dinding penahan sebagai bangunan pelengkap jalan untuk mengstabilkan lereng-lereng tersebut dari kelongsoran akibat beban tambahan seperti perkerasan jalan, kendaraan, cuaca extrim maupun gempa.

Tujuan dari penulisan ini adalah untuk memperoleh karakteristik tanah pada lokasi proyek dan dapat mengetahui seberapa besar nilai kontrol stabilitas terhadap pergulingan, geser, daya dukung tanah dan terhadap kekuatan kostruksi pada dinding penahan tanah.

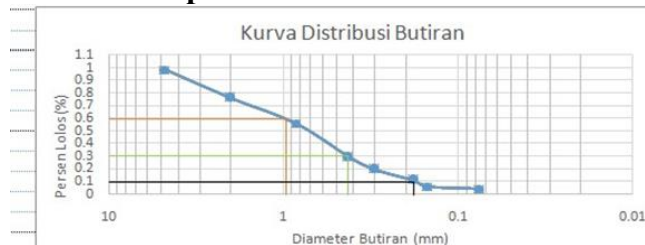
METODOLOGI

Diagram Alir Penelitian



HASIL DAN PEMBAHASAN

1. Pengujian Pendahuluan/Properties



Gambar 1. Kurva distribusi ukuran butiran berpasir Hukurilla

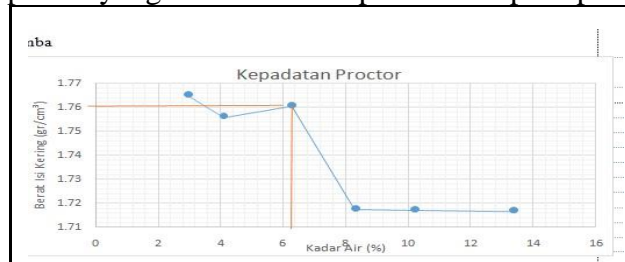
Pada gambar 1 memperlihatkan kurva ukuran distribusi butiran dari Negeri Hhukurilla. Tanah berpasir ini memiliki koefisien keseragaman sebesar 5,82 dan koefisien gradasi sebesra 1,04.

Tabel 1. Hasil pengujian sifat-sifat tanah berpasir Hukurilla

Sifat-sifat tanah	Nilai
Analisa ukuran butiran	Lolos No 200 (%)
	0,042
Batas-batas konsistensi	Lolos < No 4 (%)
	0,984
	Batas Cair (%)
	27,157
Spesifik grafity (Gs)	Batas Plastis (%)
	-
	Indeks Plastisitas (%)
	-
Kadar air asli (%)	Batas Susut (%)
	-
	2,73
	6,143
Berat isi	1,765
Kadar air optimum (%) (standar Proctor)	6,285
Berat volume kering max, γ_d max (gr/cm ³)	1,766

Sumber : Olahan data, 2021

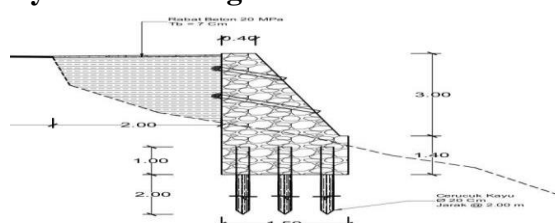
Dari hasil pengujian prokto yang dilakukan didapati hasil seperti pada gambar 2.



Gambar 2. Kurva Pemadatan Proctor

Dari kurva hasil standar proctor diperoleh berat volume kering maksimum (γ_d max) 1,7608 gr/cm³ dan kadar air optimum 6,285 %.

2. Analisa Cerucuk Kayu Pada Dindig Penahan Tanah



Gambar 3. Minipile kayu dapa DPT

Dari gambar diatas diperoleh data-data sebagai berikut:

- Cerucuk kayu, panjang 3 m dan diameter 20 cm
- Pada kedalaman 3,4 m

Persamaan daya dukung terhadap dinding penahan tanah dengan metode cerucuk kayu adalah digunakan persamaan 2.

$$Q_b = 0,25 \times 3,14 \times 20^2$$

$$= 314 \text{ kg}$$

$$= 0,314 \text{ ton}$$

$$Q_s = 3,14 \times 20 \times 300 \times 0,012$$

$$= 226,08 \text{ kg}$$

$$= 0,22608 \text{ ton}$$

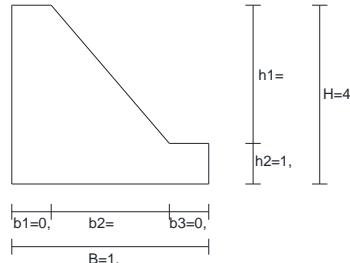
$$Q_{ult} = 3,14 + 226,08$$

$$= 540,08 \text{ kg}$$

$$Q_{all} = 540,08/3$$

$$= 180,0267 \text{ kg}$$

Kondisi umum dinding penahan tanah pada ruas jalan Hukurilla-Leihari (STA 0+675 – 0+700) yang akan dianalisis tersebut terbuat dari pasangan batu. Dinding penahan tanah ini dikategorikan sebagai gravity.



Gambar 4. Dinding penahan tanah

Data primer yang diperoleh yaitu:

- Data pasangan batu

Mutu beton (f_c') : 20 Mpa Berat volume pasangan batu (ypsangan batu) : 2,2 t/m³

- Data tanah

Berat volume tanah kering (y_d) : 1,77 t/m³

Berat volume butiran padat (y_s) : 2,73 t/m³

Sudut gesek dalam (ϕ) : 30°

Kohesi tanah (c) : 0,8 t/m³

- Dimensi dinding penahan tanah

H : 4,4 m

h1: 3 m

h2 : 1,4 m

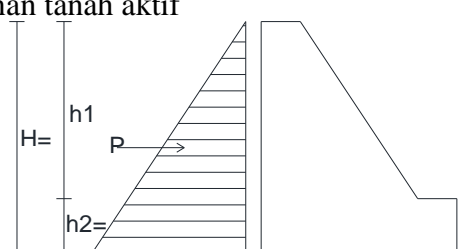
B : 1,5 m

b1 : 0,4

b2 : 1,0 m b3 : 0,1 m

3. Analisis Dinding Penahan Tanah

- Hasil perhitungan tekanan tanah aktif



Gambar 5. Diagram tekanan tanah aktif

Koefisien tekanan tanah aktif dapat dihitung menggunakan persamaan 6.

$$K_a = \tan^2(45^\circ - \frac{30}{2}) = 0,33$$

Setelah koefisien tekanan aktif diketahui, maka tekanan tanah aktif pusat dapat dihitung menggunakan persamaan 7.

$$pa = \frac{1}{2} \times 4,4^2 \times 1,77 \times 0,33 = 5,65 \text{ ton}$$

Perhitungan momen untuk tekanan tanah aktif

$$Ma = 5,65 \times \frac{1}{3} \times 4,4 = 8,286 \text{ ton. m}$$

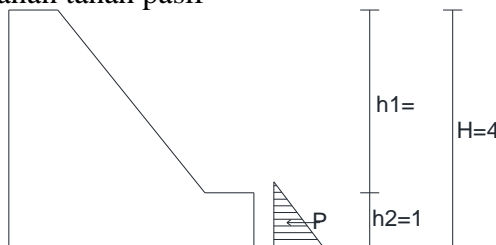
Tabel 2. Hasil perhitungan gaya dan momen pada tanah aktif

Segmen	Perhitungan	Pa	Lengan Momen	Ma
		Ton	Meter	Ton.m
Pa	$\frac{1}{2} \cdot H^2 \cdot yd \cdot K_a$	5,65	1,4666	8,286
	ΣPa	5,65	ΣMa	8,286

Sumber : Hasil Perhitungan, 2021

Dari tabel 2 didapatkan hasil tekanan tanah aktif sebesar 5,65 ton dan momen sebesar 8,286 t.m arah gayanya ke kanan.

2. Hasil perhitungan tekanan tanah pasif



Gambar 6. Diagram tekanan tanah pasif

Koefisien tekanan tanah pasif dapat dihitung menggunakan persamaan 8.

$$K_p = \tan^2(45^\circ + \frac{30}{2}) = 3$$

Setelah koefisien tekanan pasif diketahui, maka nilai tekanan pasif total yaitu:

$$Pp = \frac{1}{2} \times 1,4 \times 1,77 \times 3 = 3,72 \text{ ton}$$

Perhitungan momen untuk tekanan tanah pasif :

$$Mp = Pp \times \frac{1}{2} \times 1,4 = 1,726 \text{ ton. m}$$

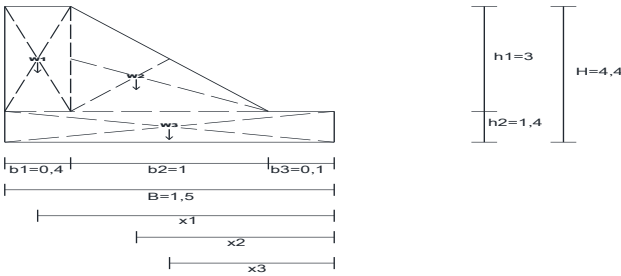
Tabel 3. Hasil perhitungan gaya dan momen pada tanah pasif

Segmen	Perhitungan	Pa	Lengan Momen	Ma
		Ton	Meter	Ton.m
Pp	$\frac{1}{2} \cdot h^2 \cdot yd \cdot K_p$	3,72	0,4666	1,736
	ΣPp	3,72	ΣMp	1,736

Sumber : Hasil perhitungan, 2021

Dari tabel 3 didapatkan hasil tekanan tanah pasif sebesar 3,72 ton dan momen sebesar 1,736 t.m. Dalam perhitungan stabilitas, tekanan tanah pasif yang berada di depan kaki dinding akan diabaikan, karena faktor – faktor seperti erosi, sehingga pada analisis stabilitas dinding penahan tanah ini nilai tekanan tanah pasif diabaikan.

3. Perhitungan berat sendiri



Gambar 7. Diagram bera sendiri bangunan

Berat sendiri bangunan dihitung berdasarkan bahan yang digunakan dalam pembangunan dinding penahan tanah tersebut. Berat sendiri bangunan ini menggunakan ketetapan sebagai berikut:

- 1) Berat volume pasangan batu (γ_{pb}) : 2,2 t/m³
- 2) Berat volume tanah kering (γ_d) : 1,77 t/m³

Perhitungan berat sendiri dinding penahan sebagai berikut:

$$\begin{aligned} \text{Pasangan batu } W_1 &= b_1 \times h_1 \times \gamma_{pb} \\ &= 0,4 \times 3,00 \times 2,2 \\ &= 2,64 \text{ ton} \end{aligned}$$

$$\begin{aligned} \text{Pasangan batu } W_2 &= \frac{1}{2} b_2 \cdot h_1 \cdot \gamma_{pb} \\ &= \frac{1}{2} \times 1 \times 3 \times 2,2 \\ &= 3,3 \text{ ton} \end{aligned}$$

$$\begin{aligned} \text{Pasangan batu } W_3 &= h_2 \times x \times \gamma_{pb} \\ &= 1,4 \times 7,5 \times 2,2 \\ &= 7,7 \text{ ton} \end{aligned}$$

$$\begin{aligned} \text{Tanah } W_4 &= \frac{1}{2} \cdot (b_3 - b_1) \cdot h_1 \cdot \gamma_d \\ &= \frac{1}{2} \times 1 \times 3 \times 1,77 \\ &= 2,655 \text{ ton} \end{aligned}$$

$$\begin{aligned} \text{Tanah } W_5 &= b_2 \cdot h_1 \cdot \gamma_d \\ &= 0,5 \times 3 \times 1,77 \\ &= 2,655 \text{ ton} \end{aligned}$$

Perhitungan momen berat sendiri dinding penahan sebagai berikut:

$$M = W \cdot \text{Lengan momen terhadap titik A}$$

$$\begin{aligned} M_1 &= W_1 \left(\frac{1}{2} \cdot b_1 \right) + b_2 \\ &= 2,64 \times \left(\frac{1}{2} \times 0,4 \right) + 0,5 \\ &= 1,848 \text{ ton.m} \end{aligned}$$

$$\begin{aligned} M_2 &= W_2 \cdot \left(\frac{1}{3} \cdot (3 - b_1) \right) + b_1 + b_2 \\ &= 3,3 \times \left(\frac{1}{3} \times 1 \right) + 0,4 + 0,5 \\ &= 4,07 \text{ ton.m} \end{aligned}$$

$$\begin{aligned} M_3 &= W_3 \cdot \left(\frac{1}{2} \times B \right) \\ &= 7,7 \times \left(\frac{1}{2} \times 2,5 \right) \\ &= 9,625 \text{ ton.m} \end{aligned}$$

$$\begin{aligned} M_4 &= W_4 \cdot \left(\frac{2}{3} \cdot (3 - b_1) \right) + b_1 + b_2 \\ &= 2,655 \times \left(\frac{2}{3} \times 1 \right) + 0,4 + 0,5 \\ &= 4,158 \text{ ton.m} \end{aligned}$$

$$\begin{aligned} M_5 &= W_5 \cdot \left(\frac{1}{2} \cdot b_4 \right) + b_3 + b_2 \\ &= 2,655 \times \left(\frac{1}{2} \times 0,6 \right) + 1,4 + 0,5 \\ &= 5,841 \text{ ton.m} \end{aligned}$$

Tabel 4. Hasil perhitungan gaya tekan dan momen berat sendiri dinding penahan tanah

Segmen	Perhitungan	V	X	Mv
		ton	m	Ton.m
Pas.batu W1	b1. h1. ypb	2,64	0,7	1,848
Pas.Batu W2	$\frac{1}{2}(b_2 b_1) h_1 \cdot ypb$	3,3	1,233	4,07
Pas.batu W3	$h_2 \cdot B \cdot ypb$	7,7	1,25	9,625
Tanah W4	$1/2.(b_3 b_1).h_1.\gamma d$	2,655	1,566	4,158
Tanah W5	$b_2.h_1.\gamma d$	2,655	2,2	5,841
ΣW		18,96	ΣM_w	25,541

Sumber : Hasil Perhitungan, 2021

Berat sendiri bangunan dihitung berdasarkan titik gaya. Dari tabel 4 jumlah gaya berat sendiri bangunan adalah $\Sigma W = 18,96$ ton dan jumlah momen berat sendiri bangunan adalah $\Sigma M_w = 25,41$ t.m

4. Hasil perhitungan momen gaya gempa

Percepatan gempa dilokasi tertentu sebagai berikut:

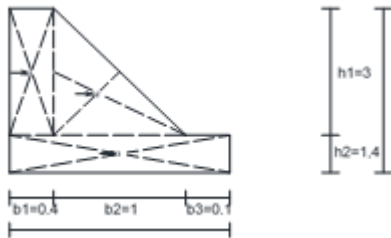
$$\begin{aligned} a_d &= n (a_c \cdot z)^m \\ n &= 1,56 \\ m &= 0,89 \\ a_c &= 90 \text{ (untuk periode 10 tahun)} \\ g &= 981 \text{ cm/det}^2 \\ z &= 1,20 \text{ (koefisien zona)} \end{aligned}$$

Perhitungan percepatan gempa dihitung dengan rumus:

$$\begin{aligned} a_d &= n (a_c \cdot z)^m \\ &= 1,56 (90 \times 1,20)^{0,89} \\ &= 100,66 \end{aligned}$$

Perhitungan koefisien gempa

$$\begin{aligned} E &= \frac{ad}{g} \\ &= \frac{100,66}{981} \\ &= 0,102 \end{aligned}$$



Gambar 8. Diagram gaya gempa

Perhitungan gaya gempa yang terjadi pada dinding penahan tanah sebagai berikut:

$$\begin{aligned} G1 &= W1 \cdot E \\ &= 2,64 \times 0,102 \\ &= 0,269 \text{ ton} \\ G2 &= W2 \cdot E \\ &= 3,3 \times 0,102 \\ &= 0,336 \text{ ton} \\ G3 &= W3 \cdot E \\ &= 7,7 \times 0,102 \\ &= 0,785 \text{ ton} \end{aligned}$$

Jumlah gaya gempa yang berkerja:

$$\begin{aligned} \Sigma G &= G1 + G2 + G3 \\ &= 0,269 + 0,336 + 0,336 \\ &= 1,385 \text{ ton} \end{aligned}$$

Momen akibat gaya gempa pada struktur:

$$MG = G \cdot \text{lengan momen terhadap dasar}$$

$$\begin{aligned} MG1 &= G1 \cdot \left(\frac{1}{2} \cdot h1\right) \\ &= 0,269 \left(\frac{1}{2} \cdot 3\right) \\ &= 0,403 \text{ ton.m} \end{aligned}$$

$$\begin{aligned} MG2 &= G2 \cdot \left(\frac{1}{3} \cdot h1\right) \\ &= 0,336 \left(\frac{1}{3} \cdot 3\right) \\ &= 0,336 \text{ ton.m} \end{aligned}$$

$$\begin{aligned} MG3 &= G3 \cdot \left(\frac{1}{2} \cdot h2\right) \\ &= 0,785 \left(\frac{1}{2} \cdot 1,4\right) \\ &= 0,549 \text{ ton.m} \end{aligned}$$

Jumlah momen gempa yang berkerja:

$$\begin{aligned} \Sigma MG &= MG1 + MG2 + MG3 \\ &= 0,403 + 0,336 + 0,549 \\ &= 1,288 \text{ ton.m} \end{aligned}$$

Tabel 4. Hasil perhitungan gaya tekan dan momen akibat gempa

Segmen	Perhitungan	V	X	Mv
		ton	m	Ton.m
G1	W1 . E	0,269	1,5	0,403
G2	W2. E	0,336	1	0,336
G3	W3. E	0,785	0,7	0,549
ΣG		1,385	ΣM_g	1,288

Sumber : Hasil Perhitungan, 2021

Berdasarkan tabel 4 jumlah gaya akibat gempa adalah $\Sigma G = 1,385$ ton dan jumlah momen akibat gempa adalah $\Sigma M_g = 1,288$ ton.m. Arah gaya gempa ke kanan.

Gaya	Uraian	Notasi	Gaya (ton)	Arah Gaya
1	Tekanan aktif	ΣP_a	5,65	→
2	Tekanan pasif	ΣP_p	3,72	←
3	Berat sendiri	ΣW	18,95	↓
4	Gaya gempa	ΣG	1,385	→
Momen			Momen (ton.m)	
5	Momen aktif	ΣM_a	8,286	↷
6	Momen pasif	ΣM_p	1,726	
7	Momen berat sendiri	ΣM_w	25,541	
8	Momen gempa	ΣM_g	1,288	

Sumber : Hasil Perhitungan, 2021

5. Hasil Perhitungan Stabilitas

a. Kondisi Normal

1) Perhitungan stabilitas terhadap geser

$$\begin{aligned} fgs &= \frac{c \cdot B + \Sigma W \cdot \tan\varphi}{\Sigma P_a - \Sigma P_p} \geq 1,5 \\ &= \frac{0,8x2,5 + 18,95xtan30}{5,65 - 0} \geq 1,5 \\ &= \frac{12,941}{5,65} \geq 1,5 \\ &= 2,290 \geq 1,5 \quad (\text{aman}) \end{aligned}$$

2) Perhitungan stabilitas terhadap guling

$$\begin{aligned} fgl &= \frac{\Sigma M_w}{\Sigma M_a} \geq 1,5 \\ &= \frac{25,541}{8,286} \geq 1,5 \\ &= 3,082 \geq 1,5 \quad (\text{aman}) \end{aligned}$$

3) Perhitungan stabilitas terhadap kuat dukung tanah sebagai berikut:

Kapasitas dukung tanah dengan menggunakan cara Terzaghi

$$\Phi = 30^\circ \Rightarrow N_c = 37,2$$

$$N_q = 22,5$$

$$N_\gamma = 19,7$$

Perhitungan kapasitas dukung ultimit sebagai berikut:

$$\begin{aligned} q_{ult} &= c \cdot N_c + D_f \cdot \gamma d \cdot N_q + 0,5 \cdot B \cdot \gamma s \cdot N_\gamma \\ &= 0,8 \times 37,2 + 1 \times 1,77 \times 22,5 + 0,5 \times 2,5 \times 2,73 \times 19,7 \\ &= 136,811 \text{ ton/m}^2 \end{aligned}$$

Perhitungan kapasitas dukung ultimit neto sebagai berikut:

$$\begin{aligned} q_{un} &= qu - Df \cdot \gamma d \\ &= 136,811 - 1 \times 1,77 \\ &= 135,041 \text{ ton/m}^2 \end{aligned}$$

Perhitungan tekanan pondasi neto sebagai berikut:

$$\begin{aligned} q_n &= q - Df \cdot \gamma d \\ &= 18,95 - 1 \times 1,77 \\ &= 17,18 \text{ ton/m}^2 \end{aligned}$$

Perhitungan faktor aman

$$\begin{aligned} F &= \frac{q_{un}}{q_n} \\ &= \frac{135,041}{17,18} \\ &= 7,860 \end{aligned}$$

Perhitungan kapasitas dukung (tegangan ijin) sebagai berikut:

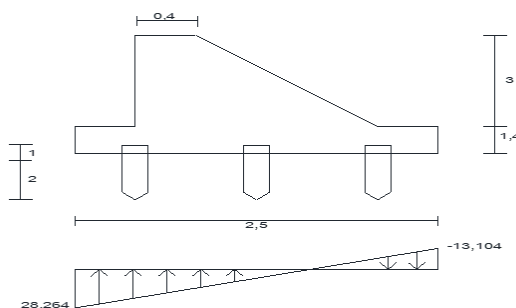
$$\begin{aligned} q_a &= \frac{qu}{F} \\ &= \frac{136,811}{7,860} \\ &= 17,405 \text{ ton/m}^2 \end{aligned}$$

Dicari letak resultan gaya-gaya yang berkerja terhadap pusat berat alas pondasi:

$$\begin{aligned} x &= \frac{\Sigma M_w - (+\Sigma M_a)}{\Sigma W} \\ &= \frac{25,541 - 8,286}{18,95} \\ &= \frac{17,255}{18,95} \\ &= 0,910 \text{ m} \\ e &= 0,910x \frac{B}{2} \\ &= 0,910 \times \frac{2,5}{2} \\ &= 1,137 \end{aligned}$$

Perhitungan tegangan vertical desak maksimum sebagai berikut:

$$\begin{aligned} \sigma_{max} &= \frac{W}{B} \cdot \left(1 + \frac{6 \cdot e}{B} \right) \\ &= \frac{18,95}{2,5} \times \left(1 + \frac{6 \times 1,137}{2,5} \right) \\ &= 28,264 \text{ ton/m}^2 \\ \Sigma_{min} &= \frac{W}{B} \cdot \left(1 - \frac{6 \cdot e}{B} \right) \\ &= \frac{18,95}{2,5} \times \left(1 - \frac{6 \times 1,137}{2,5} \right) \\ &= -13,104 \text{ ton/m}^2 \end{aligned}$$



Gambar 9. Diagram kondisi gempa

b. Kondisi Gempa

1) Perhitungan stabilitas terhadap geser

$$\begin{aligned} f_{gs} &= \frac{c \cdot B + \Sigma W \cdot \tan\varphi}{\Sigma P_a - \Sigma P_p + \Sigma G} \geq 1,5 \\ &= \frac{0,8x2,5 + 18,95xtan30}{5,65 - 0 + 1,385} \geq 1,5 \\ &= \frac{12,941}{7,035} \geq 1,5 \\ &= 1,839 \geq 1,5 \quad (\text{aman}) \end{aligned}$$

2) Perhitungan stabilitas terhadap guling

$$\begin{aligned} f_{gl} &= \frac{\Sigma M_w}{\Sigma M_a + \Sigma M_g} \geq 1,5 \\ &= \frac{25,541}{8,286 + 1,288} \geq 1,5 \\ &= \frac{25,541}{9,574} \\ &= 2,667 \geq 1,5 \quad (\text{aman}) \end{aligned}$$

3) Perhitungan stabilitas terhadap kuat dukung tanah

Kapasitas dukung tanah dengan menggunakan cara Terzaghi

$$\Phi = 30^\circ \Rightarrow N_c = 37,2$$

$$N_q = 22,5$$

$$N_y = 19,7$$

Perhitungan kapasitas dukung ultimit sebagai berikut:

$$\begin{aligned} q_{ult} &= c \cdot N_c + D_f \cdot \gamma d \cdot N_q + 0,5 \cdot B \cdot \gamma s \cdot N_y \\ &= 0,8x37,2 + 1x1,77x22,5 + 0,5x2,5x2,73x19,7 \\ &= 136,811 \text{ ton/m}^2 \end{aligned}$$

Perhitungan kapasitas dukung ultimit neto sebagai berikut:

$$\begin{aligned} q_{un} &= qu - D_f \cdot \gamma d \\ &= 136,811 - 1x1,77 \\ &= 135,041 \text{ ton/m}^2 \end{aligned}$$

Perhitungan tekanan pondasi neto sebagai berikut:

$$\begin{aligned} q_n &= q - D_f \cdot \gamma d \\ &= 18,95 - 1x1,77 \\ &= 17,18 \text{ ton/m}^2 \end{aligned}$$

Perhitungan faktor aman

$$\begin{aligned} F &= \frac{q_{un}}{q_n} \\ &= \frac{135,041}{17,18} \\ &= 7,860 \end{aligned}$$

Perhitungan kapasitas dukung (tegangan ijin) sebagai berikut:

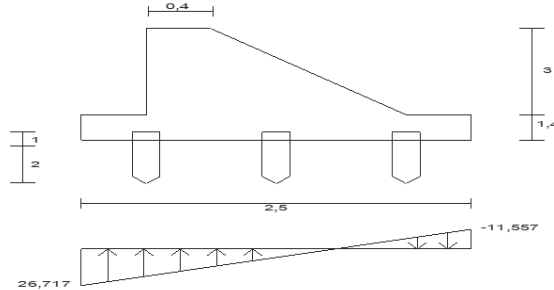
$$\begin{aligned} q_a &= \frac{qu}{F} \\ &= \frac{136,811}{7,860} \\ &= 17,405 \text{ ton/m}^2 \end{aligned}$$

Dicari letak resultan gaya-gaya yang berkerja terhadap pusat berat alas pondasi:

$$\begin{aligned} x &= \frac{\Sigma M_w - (\Sigma M_a + \Sigma M_g)}{\Sigma W} \\ &= \frac{25,541 - (8,286 + 1,288)}{18,95} \\ &= \frac{15,967}{18,95} \\ &= 0,842 \text{ m} \\ e &= 0,842x \frac{B}{2} \\ &= 0,842x \frac{2,5}{2} \\ &= 1,052 \end{aligned}$$

Perhitungan tegangan vertical desak maksimum sebagai berikut:

$$\begin{aligned}\sigma_{\max} &= \frac{W}{B} \cdot \left(1 + \frac{6 \cdot e}{B}\right) \\ &= \frac{18,95}{2,5} \times \left(1 + \frac{6 \times 1,052}{2,5}\right) \\ &= 26,717 \text{ ton/m}^2 \\ \sigma_{\min} &= \frac{W}{B} \cdot \left(1 - \frac{6 \cdot e}{B}\right) \\ &= \frac{18,95}{2,5} \times \left(1 - \frac{6 \times 1,052}{2,5}\right) \\ &= -11,557 \text{ ton/m}^2\end{aligned}$$



Gambar 10. Diagram kondisi gempa

c. Kondisi Ekstrim

1. Perhitungan stabilitas terhadap geser

$$\begin{aligned}f_{gs} &= \frac{c \cdot B + \Sigma W \cdot \tan \varphi}{\Sigma P_a - \Sigma P_p + \Sigma G} \geq 1,5 \\ &= \frac{0,8x2,5 + 18,95x \tan 30}{5,65 - 3,72 + 1,385} \geq 1,5 \\ &= \frac{12,941}{3,315} \geq 1,5 \\ &= 3,903 \geq 1,5 \quad (\text{aman})\end{aligned}$$

2. Perhitungan stabilitas terhadap guling

$$\begin{aligned}f_{gl} &= \frac{\Sigma M_w + \Sigma M_p}{\Sigma M_a + \Sigma M_g} \geq 1,5 \\ &= \frac{25,541 + 1,726}{8,286 + 1,288} \geq 1,5 \\ &= \frac{27,267}{9,574} \\ &= 2,848 \geq 1,5 \quad (\text{aman})\end{aligned}$$

3. Perhitungan sabilitas terhadap kuat dukung tanah

Kapasitas dukung tanah dengan menggunakan cara Terzaghi

$$\varphi = 30^\circ \Rightarrow N_c = 37,2$$

$$N_q = 22,5$$

$$N_\gamma = 19,7$$

Perhitungan kapasitas dukung ultimit sebagai berikut:

$$\begin{aligned}q_{ult} &= c \cdot N_c + D_f \cdot \gamma d \cdot N_q + 0,5 \cdot B \cdot \gamma_s \cdot N_\gamma \\ &= 0,8x37,2 + 1x1,77x22,5 + 0,5x2,5x2,73x19,7 \\ &= 136,811 \text{ ton/m}^2\end{aligned}$$

Perhitungan kapasitas dukung ultimit neto sebagai berikut:

$$\begin{aligned}q_{un} &= q_{ult} - D_f \cdot \gamma d \\ &= 136,811 - 1x1,77 \\ &= 135,041 \text{ ton/m}^2\end{aligned}$$

Perhitungan tekanan pondasi neto sebagai berikut:

$$\begin{aligned}q_n &= q_{un} - D_f \cdot \gamma d \\ &= 135,041 - 1x1,77 \\ &= 17,18 \text{ ton/m}^2\end{aligned}$$

Perhitungan faktor aman

$$\begin{aligned}F &= \frac{q_{un}}{q_n} \\ &= \frac{135,041}{17,18}\end{aligned}$$

$$= 7,860$$

Perhitungan kapasitas dukung (tegangan ijin) sebagai berikut:

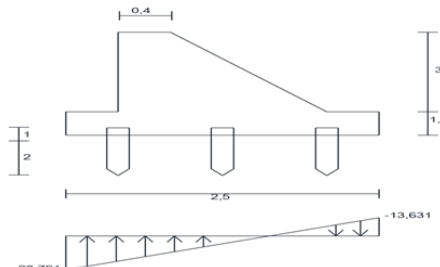
$$\begin{aligned} qa &= \frac{qu}{F} \\ &= \frac{136,811}{7,860} \\ &= 17,405 \text{ ton/m}^2 \end{aligned}$$

Dicari letak resultan gaya-gaya yang berkerja terhadap pusat berat alas pondasi:

$$\begin{aligned} x &= \frac{(\Sigma M_w + \Sigma M_p) - (\Sigma M_a + \Sigma M_g)}{\Sigma W} \\ &= \frac{(25,541 + 1,726) - (8,286 + 1,288)}{18,95} \\ &= \frac{17,693}{18,95} \\ &= 0,933 \text{ m} \\ e &= 0,933x \frac{B}{2} \\ &= 0,933x \frac{2,5}{2} \\ &= 1,166 \end{aligned}$$

Perhitungan tegangan vertical desak maksimum sebagai berikut:

$$\begin{aligned} \sigma_{\max} &= \frac{W}{B} \cdot \left(1 + \frac{6 \cdot e}{B}\right) \\ &= \frac{18,95}{2,5} \times \left(1 + \frac{6 \times 1,166}{2,5}\right) \\ &= 28,791 \text{ ton/m}^2 \\ \sigma_{\min} &= \frac{W}{B} \cdot \left(1 - \frac{6 \cdot e}{B}\right) \\ &= \frac{18,95}{2,5} \times \left(1 - \frac{6 \times 1,166}{2,5}\right) \\ &= -13,631 \text{ ton/m}^2 \end{aligned}$$



Gambar 11. Diagram kondisi ekstrim

Pembahasan

Hasil perhitungan stabilitasdinding penahan tanah dari dimensi yang mempunyai tinggi = 3 m, tinggi tapak = 1,4 m, dan lebar atas = 0,4 m, lebar dasar = 2,5 m, tebal kaki atau tumit = 0,5 m, lebar kaki atau tumit = 0,6 m. Stabilitas dinding penahan terhadap kuat dukung tanah menggunakan teori Terzaghi yaitu, $\sigma_{\max} = 28,264 \text{ ton/m}^2 > qa = 17,405 \text{ ton/m}^2$, stabilitas gaya geser $2,290 \geq 1,5$ dan guling $3,082 \geq 1,5$ pada kondisi normal aman. $\sigma_{\max} = 26,717 \text{ ton/m}^2 > qa = 17,405 \text{ ton/m}^2$, stabilitas gaya geser $1,839 \geq 1,5$ dan guling $2,667 \geq 1,5$ pada konsidi gempa aman dan $\sigma_{\max} = 28,791 \text{ ton/m}^2 > qa = 17,405 \text{ ton/m}^2$, stabilitas gaya geser $3,903 \geq 1,5$ dan guling $2,848 \geq 1,5$ dinyatakan aman pada kondisi extrem.

Dalam perhitungan stabilitas dinding penahan tanah akibat perubahan dimensi terhadap kuat geser maupun guling menunjukan angka keamanan lebih dari 1,5 (yang telah disyaratkan) bahwa dinding penahan dinyatakan aman.

KESIMPULAN

Berdasarkan hasil penelitian yang penulis lakukan, penulis dapat mengambil kesimpulan bahwa :

- a. Tanah yang berada di lokasi proyek bersifat pasir kelempungan dengan sifat-sifat tanah dengan nilai berat jenis (G_s) = 2,73 gr/cm³, berat isi = 1,765 gr/cm³, kadar air asli = 6,143 %, analisa ukuran butiran; lolos no 200 = 0,042 % dan lolos < no 4 = 0,984 %, kadar air optimum (standar proctor) = 6,285 %, batas cair = 27,157 %. dengan nilai berat jenis (G_s) = 2,73 gr/cm³, berat isi = 1,765 gr/cm³, kadar air asli = 6,143 %, analisa ukuran butiran; lolos no 200 = 0,042 % dan lolos < no 4 = 0,984 %, kadar air optimum (standar proctor) = 6,285 %, batas cair = 27,157 %. dengan sudut geser sebesar 30° dan nilai kohesi tanah sebesar 0,8345 kg/cm².
2. Kontrol stabilitas pada dinding penahan tanah bertipe gravity wall dengan bahan pasangan batu kali dengan tinggi 3 m di atas permukaan tanah asli dan 1,4 m yang tertimbun oleh tanah asli dan mempunyai lebar dasar 1,5 m, sepanjang 10 m. Tidak aman terhadap geser pada kondisi normal $f_{gs} = 1,291 < 1,5$ kondisi gempa $f_{gs} = 1,084 < 1,5$ dan kondisi ekstrem $f_{gs} = 2,427 > 1,5$ sementara untuk guling pada kondisi normal $f_{gl} = 1,137 < 1,5$ kondisi gempa $f_{gl} = 1,007 < 1,5$ dan kondisi ekstrem $f_{gl} = 1,193 < 1,5$ dengan kapasitas dukung (tegangan ijin) sebesar 8,93 ton/m².
3. Direncanakan kembali dimensi dinding penahan tanah dengan tinggi dinding penahan = 3 m, tinggi tapak = 1,4 m, lebar atas = 0,4 m, lebar dasar = 2,5 m, tebal kaki atau tumit = 0,5 m, lebar kaki atau tumit = 0,6 m. dari dimensi dinding penahan yang direncanakan didapatkan nilai stabilitas terhadap geser kondisi normal $f_{gs} = 2,290 > 1,5$ kondisi gempa $f_{gs} = 1,839 > 1,5$ dan kondisi ekstrem $f_{gs} = 3,903 > 1,5$ sementara untuk guling pada kondisi normal $f_{gl} = 3,082 > 1,5$ kondisi gempa $f_{gl} = 2,667 > 1,5$ dan kondisi ekstrem $f_{gl} = 2,848 > 1,5$ dengan kapasitas dukung (tegangan ijin) sebesar 17,405 ton/m².

DAFTAR PUSTAKA

- Craig, R.F,1989, Mekanika Tanah, Jakarta, Erlangga
- Das, Braja M., 1993, Mekanika Tanah II, Jakarta, Erlangga
- Hardiyatmo, Hary, C, 2002, Mekanika Tanah I, Yogyakarta, Gadjah Mada University Press
- Hardiyatmo, Hary, C, 2002, Mekanika Tanah II, Yogyakarta, Gadjah Mada University Press
- Hardiyatmo, Hary, C, 2006, Penanganan Tanah Longsor dan Erosi, Yogyakarta, Gadjah Mada University Press
- Hardiyatmo, Hary, C, 2011, Analisa dan Perangcangan Pondasi I, Yogyakarta, Gadjah Mada University Press
- Hardiyatmo, Hary, C, 2017, Mektan 1 Edisi ke 7, Yogyakarta, Gadjah Mada University Press
- Hardiyatmo, Hary, C, 2018, Mektan 2 Edisi ke 6, Yogyakarta, Gadjah Mada University Press
<https://captainpiezocene.blogspot.com> (diunduh 13-52012) Dinding Peanahan Tanah dan Tekanan Lateral. <https://id.scribd.com> (diunduh 26-09-2019) Kompresibilitas Tanah-Penurunan Elastis <http://www.slideshare.net> (diunduh 04-01-2015) Struktur Beton Bertulang <https://yusriadimappeasse.blogspot.com> (diunduh 141-2013) Type Dinding Penahan Tanah.
- Lulut Fadhilah, Sudarno, 2017, Perencanaan Dinding Penahan Tanah Untuk Perbaikan Longsor Di Ruas Jalan Balerejo Kalegen:Jurnal Reviews in Civil Engineering v.01, n.1, p.2528, 2017
- Oscar Fithrah Nur., dan Abdul Hakam, 2010, Analisa Stabilitas Dinding Penahan Tanah (Retaining Wall) Akibat Beban Dinamis Dengan Simulasi Numerik:Jurnal Rekayasa Sipil Vol.6 No.2, Oktober 2010 ISSN : 1858-2133 Pedoman Teknik Pondasi Cerucuk 29-T-BM-1999 PP no.43 thn.1993 pasal 11 RPT0 (Rancangan Pedoman Teknis), Pedoman Penyusunan Spesifikasi Teknis vol-1: umum bagian-5: perkerjan pasangan SNI 2847:2013 Dinding structural.
- Violetta Gabriella Margaretha Pangemanan, A.E
- Turangan., O.B.A Sompie, 2014, Analisis Kestabilan Lereng Dengan Metode Fellenius (Studi Kasus: Kawasan Citraland): Jurnal Sipil Statik Vol.2 No.1, Januari 2014 (37-46) ISSN: 2337-6732.